

BSS003ZEIG



**Lathuilière, B., Carpentier, C., André, G., Dagallier, G., Durand, M., Hanzo, M., Huault, V., Harmand, D., Hibsich, C., Le Roux, J., Malartre, F., Martin-Garin, B., Nori, L. 2003- Falaise de Doulaincourt, Haute-Marne. *Contribution ORAGE publiée à la BSS n°38.***

**Extrait de :**

**Lathuilière, B., Carpentier, C., André, G., Dagallier, G., Durand, M., Hanzo, M., Huault, V., Harmand, D., Hibsich, C., Le Roux, J., Malartre, F., Martin-Garin, B., Nori, L. 2003 Production carbonatée dans le Jurassique de Lorraine. *Groupe Français d'Etude du Jurassique*, Université de Nancy p. 103-106.**

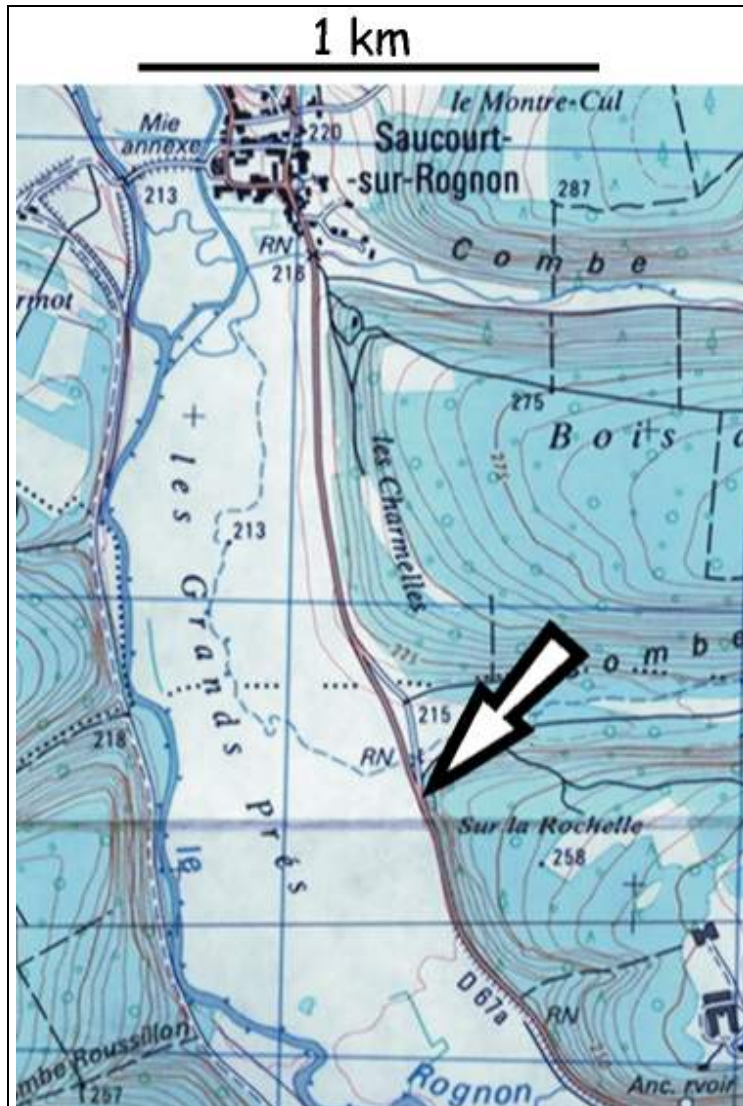
**Coordonnées SRS (Longitude/Latitude) : X = 5.190 ; Y = 48.332**

**Département : Haute-Marne      Commune : Doulaincourt**

**Nature : Affleurement**

## Arrêt 3.3 Doulaincourt

### Localisation



coordonnées : x= 811,5  
(Lambert I) y = 1074,3

accès : En venant de Nancy, à Neufchâteau prendre la RN74 en direction de Rimaucourt. A Rimaucourt prendre la D67a en direction de Doulaincourt.

L'affleurement se situe en bordure de la route départementale D67a sur la droite à environ 1 km après Doulaincourt.

carte géologique :  
Doulaincourt XXXI-17 au 1/50 000

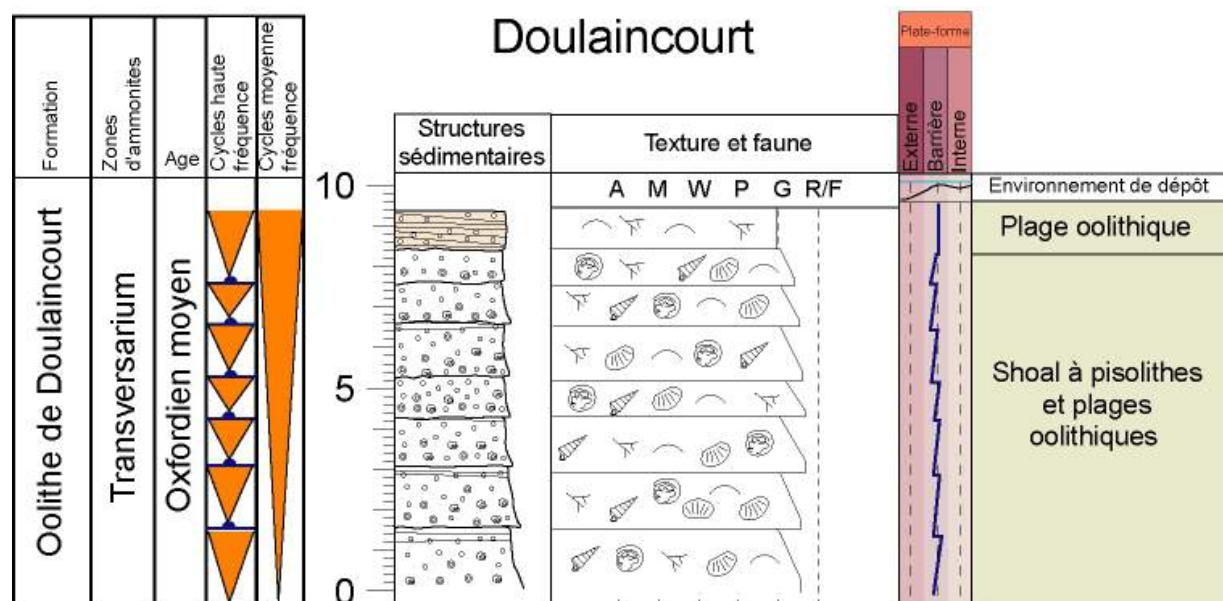
Fig. 59 Affleurement de Doulaincourt (d'après la carte IGN à 1/25 000)

### Stratigraphie

unité lithostratigraphique	étage et sous-étage	zone
Oolithe de Doulaincourt	Oxfordien moyen	Transversarium

### Thématique

Mots clés : bordure de plate-forme, faciès de haute énergie, *shoal* oolithique, microatolls.



Verticalement les faciès grossiers à pisolites évoluent vers un grainstone à oolites fines bien triées. Localement, des lamines oolithiques horizontales sont observables et attestent de la présence d'environnements de plage. Le long de la D 67a, plusieurs niveaux de plage à lamines horizontales et/ou à angle faible sont observables ainsi que des lobes de *spillover* à stratifications obliques angulaires montrant une progradation apparente vers le sud-est (Fig. 61). Non loin de là, au lieu dit *Val de l'Ajoux* situé au nord-est de Bettaincourt-sur-Rognon, un corail du genre *Comoseris* présentant des structures de croissance indentiques à celles décrites dans des microatolls oxfordiens du Jura (Habrant et Lathuilière, 2000) a été observé dans les faciès pisolithiques. En effet, il présente des phases de croissance tardive qui s'effectuent selon des axes horizontaux et qui seraient dues à des périodes pendant lesquelles le corail qui se trouve à fleur d'eau est fortement bioérodé sur sa face supérieure (Fig. 61).

#### Interprétation :

L'Oolithe de Doulaincourt correspond aux faciès de bordure de plate-forme, équivalents latéraux des faciès internes visibles notamment à Pagny-sur-Meuse. Le faciès associé à la présence de plages, de lobes de *spillover* et de microatolls attestent de la présence d'environnements agités, temporairement émergés sur la bordure sud-ouest de la plate-forme oxfordienne de Lorraine pendant la fin de l'Oxfordien moyen. Les plages correspondaient aux périodes de minimum d'accommodation et étaient remplacées par des systèmes oncolithiques et oolithiques subtidaux à fleur d'eau (comme en atteste la présence de microatolls) pendant les petites phases de montée du niveau marin relatif. Contrairement au modèle de bordure proposé par Humbert (1971), il n'existait pas de réelle barrière corallienne, mais au contraire un système de *shoal* oolithique parcouru par des plages et au sein duquel vivaient des colonies coralliennes isolées généralement massives. Ces environnements de dépôt à fleur d'eau sont en accord avec les faciès subémersifs des Calcaires de Dainville observés à Pagny.

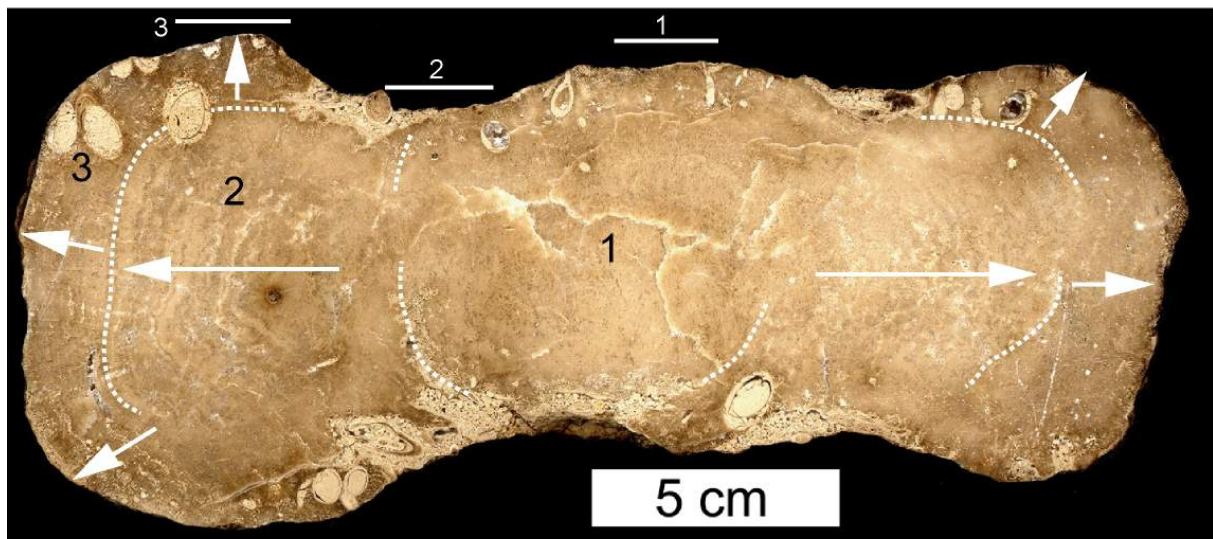




Stratifications horizontales ou à angle faible de plage





Stratifications obliques angulaires de spillover



Microatoll montrant trois principales phases de croissance (1, 2, 3). Ce *Comoseris* montre des orientations de croissance différentes au cours du temps interprétées comme des réponses à des variations minimales de la tranche d'eau. Les traits accompagnés d'un numéro symbolisent la position supposée du niveau marin pendant les différentes phases de croissance

Fig 61 Principales structures sédimentaires observables au sein de l'Oolithe de Doulaincourt et stades de croissances d'un microatoll

## Légende pour les figurés oxfordiens

	Algues indifférenciées		Gastropodes indifférenciés		Intraclasses
	Débris végétaux		Nérinées		Oolithes
	Foraminifères benthiques indifférenciés		Ammonites		Pisolithes
	Miliolites		Nautilus		Oncolithes
	Lenticulines		Brachiopodes indifférenciés		Péloïdes
	Foraminifères agglutinants		Rhynchonelles		Bioturbation diffuse
	Spirillines		Térébratules		Lamines algaires
	Spongiaires		Sclérites d'holothurides		Gypse
	<i>Cladocoropsis</i>		Ophiurides		Bird eyes
	Chaetétidés		Articles de crinoïdes		Lithoclastes microbiens
	Coraux lamellaires		Radioles d'oursins		Cristaux de pyrite
	Coraux branchus		Tests d'oursins		Stratifications entrecroisées
	Coraux en dôme		Ostracodes		HCS
	Serpules		Crustacés		Discontinuité de chute du niveau marin relatif
	Bivalves indifférenciés		Restes squelettiques de poissons		Surface d'inondation maximale
	Pectinidés		Coproolithes		Surface d'émersion et de transgression
	<i>Pholadomya</i>		Perforations		Surface de transgression
	Ostreïde		Terriers horizontaux		Surface de transgression et maximum d'envoyage confondus
	Exogyres		Terriers verticaux		Cortège transgressif
	Astartes				Cortège de haut niveau marin
	<i>Trichites</i>				Cortège de bas niveau marin
	<i>Diceras</i>				